

I-20 せん断波を受ける無限弾性体中の厚肉円筒の応力解析について

室蘭工業大学 正員 ○衣岡 健一
北海道大学 正員 能町 純雄

1. まえがき

平面波を受けるトンネルや、埋設円筒構造物の動的問題は、これをモデル化すれば、平面波を受ける円孔を有する無限体や、無限体中のある厚肉円筒の動的问题となる。これらに関する研究は、これまで種々に行なわれているが、まず円筒トンネルの問題では、円孔を有する無限弾性体が平面波を受けるときの動的応答解析として、Pao¹⁾, Mow²⁾ や平井ら³⁾ によって行なわれている。とくに平井らは、せん断波が円孔の軌跡を含む平面に任意の角度で入射するときの問題を、変位ポテンシャルを用いて解析し、動的応力集中係数を求めている。また鶴見ら⁴⁾ は、埋設円管の動的問題を、地盤を無限弾性体とし、円管を構要素として、これを組合せて解析し、動的ばね定数を中心として、種々検討している。

著者ら⁵⁾ もこれまで、円柱座標で表わされる波動伝播の問題を解析してきたが、ここでこの方法を施したトンネルや埋設円管に対するように、せん断波を受ける無限弾性体中の厚肉円筒の問題に適用し、円筒をも三次元弾性体として解析するものである。具体的には、円柱座標で示される三次元波動方程式を、フーリエ・ハンケル変換を用いて解き、数値計算は弾性体と円筒の弾性定数比、円筒の肉厚などを変化させて行ない、結果を検討した。

2. 波動方程式の解

図-1に示すように、円筒軸方向にz軸、半径方向にr軸、円周方向にθ軸をとり、x-z平面に平行にz軸とyの角度、x方向からせん断波が入射するとき

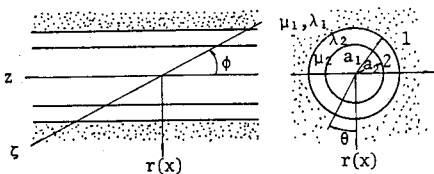


図-1 弾性体中の厚肉円筒

の、波動方程式を満足する変位解は、u, v, wとされ、r, θ, z軸方向の変位成分として、円筒に対して、波動方程式にフーリエ・ハンケル変換を用いて

$$u = \frac{1}{\pi} \sum_m C_m (\widehat{A}_{mr} + \widehat{B}_{mr}) \cos m\theta \cdot e^{i\omega(t - \frac{r \cos \phi}{V_s})}, \quad (1)$$

$$v = \frac{1}{\pi} \sum_m (\widehat{A}_{mr} - \widehat{B}_{mr}) \sin m\theta \cdot e^{i\omega(t - \frac{r \cos \phi}{V_s})}, \quad (2)$$

$$w = \frac{1}{\pi} \sum_m \widehat{C}_{mr} \cos m\theta \cdot e^{i\omega(t - \frac{r \cos \phi}{V_s})}, \quad (3)$$

ここで、 $C_0 = 1/Z$, $C_m = 0 (m \neq 0)$ であり

$$\begin{aligned} \widehat{A}_{mr} = & \sum_{k=1}^{\infty} \left[\frac{1}{N_u} X_{mk}^{(k)} (N_u r) \left\{ \frac{1}{3\mu} \alpha_{mk} + (m+1) A_{mk} \right. \right. \\ & + (m-1) B_{mk} - i \frac{N}{Z} E_{mk} \left. \right\} + \frac{\mu N^2}{\rho \omega^2} \left\{ \frac{1}{N_u} X_{mk}^{(k)} (N_u r) \right. \\ & - \frac{N_u}{N^2} X_{mk}^{(k)} (N_u r) \left. \right\} \left\{ \frac{1}{3\mu} \beta_{mk} + (m+1) A_{mk} \right. \\ & \left. \left. - (m-1) B_{mk} + i N E_{mk} \right\} \right], \end{aligned} \quad (4)$$

$$\begin{aligned} \widehat{B}_{mr} = & \sum_{k=1}^{\infty} \left[I - \frac{1}{N_u} X_{ms}^{(k)} (N_u r) \left\{ \frac{1}{3\mu} \alpha_{mk} + (m+1) A_{mk} \right. \right. \\ & + (m-1) B_{mk} + i \frac{N}{Z} E_{mk} \left. \right\} + \frac{\mu N^2}{\rho \omega^2} \left\{ \frac{1}{N_u} X_{ms}^{(k)} (N_u r) \right. \\ & - \frac{N_u}{N^2} X_{ms}^{(k)} (N_u r) \left. \right\} \left\{ \frac{1}{3\mu} \beta_{mk} + (m+1) A_{mk} \right. \\ & \left. \left. - (m-1) B_{mk} + i N E_{mk} \right\} \right], \end{aligned} \quad (5)$$

$$\begin{aligned} \widehat{C}_{mr} = & \sum_{k=1}^{\infty} \left[G_m^{(k)} (N_u r) E_{mk} - i \frac{3\mu N}{\rho \omega^2} (G_m^{(k)} (N_u r) \right. \\ & \left. - G_m^{(k)} (N_u r)) \left\{ \frac{1}{3\mu} \beta_{mk} + (m+1) A_{mk} - (m-1) B_{mk} \right. \right. \\ & \left. \left. + i N E_{mk} \right\} \right], \end{aligned} \quad (6)$$

上式中、 ω は角速度、 V_s は伝播するせん断波の速度、 μ 、入は Lame の弾性定数、 ρ は円筒の密度であり

$$\begin{aligned} N &= \omega \cos \phi / V_s, \quad N_u^2 = N^2 - \rho \omega^2 / \mu, \\ N_\alpha^2 &= N^2 - \rho \omega^2 / (2\mu + \lambda) \end{aligned} \quad (7)$$

である。また式中の関数は、ハンケル変換・逆変換により与えられる関数で、円筒の内径を a_2 、外径を a_1 、 $a_0 = a_2$ としたとき次のようになる。

$$G_m^{(k)}(Nr) = \frac{R_{m,m}^{(k)}(Nr)}{R_{m,m}^{(k)}(Na_k)}, \quad X_{mp}^{(k)}(Nr) = \frac{R_{m+1,m}^{(k)}(Nr)}{R_{m+1,m}^{(k)}(Na_k)},$$

$$X_{ms}^{(k)}(Nr) = \frac{R_{m+1,m}^{(k)}(Nr)}{R_{m+1,m}^{(k)}(Na_k)},$$

$$R_{j,m}^{(k)}(Nr) = I_j(Nr) K_m(Na_{k-1}) - (-1)^{j+m} I_m(Na_{k-1}) K_j(Nr)$$

$$j = m-1, m, m+1$$

ただし、 I, K は変形オーナー種およびオーナー種の Bessel 関数である。さらに、式中の係数 α, β, A, B, E は円筒と内外面の変位および応力で与えらるるものとする。

$$\alpha_{mk} = \int_0^{2\pi} (r_o)_{r=a_k} \sin m\theta d\theta, \quad \beta_{mk} = \int_0^{2\pi} (r_i)_{r=a_k} \cos m\theta d\theta,$$

$$A_{mk} = \frac{1}{2a_k} \int_0^{2\pi} (U + V)_{r=a_k} \cos m\theta d\theta, \quad (a)$$

$$B_{mk} = \frac{1}{2a_k} \int_0^{2\pi} (U - V)_{r=a_k} \sin m\theta d\theta, \quad (b)$$

$$E_{mk} = \int_0^{2\pi} w_{r=a_k} \cos m\theta d\theta$$

$$m = 0, 1, 2, \dots$$

と表わされる。

上式 (a) ~ (b) は円筒に対してのものであるが、円孔を有する無限体の場合には、これらを式で、 $a_1 = \infty$ として、 $k=2$ もつのみを考慮することにより同様にえられるものを入射波動を加えることにより与えらるるが、こつとて式 (a) ~ (b) 中の関数は

$$G_m^{(1)}(Nr) = \frac{K_m(Nr)}{K_m(Na_1)}, \quad X_{mp}^{(1)}(Nr) = \frac{K_{m+1}(Nr)}{K_m(Na_1)},$$

$$X_{ms}^{(1)}(Nr) = -\frac{K_{m-1}(Nr)}{K_m(Na_1)},$$

となり、入射波動は、円柱座標で表わして

$$U^0 = r_o \exp [i\omega \{t - (z \cos \varphi - r \sin \varphi \cos \theta)/v_s\}]$$

$$\times \cos \varphi \cos \theta, \quad (8)$$

$$V^0 = -r_o \exp [i\omega \{t - (z \cos \varphi - r \sin \varphi \cos \theta)/v_s\}]$$

$$\times \cos \varphi \sin \theta, \quad (9)$$

$$W^0 = r_o \exp [i\omega \{t - (z \cos \varphi - r \sin \varphi \cos \theta)/v_s\}]$$

$$\times \sin \varphi, \quad (10)$$

となる。

3. 境界条件

せん断波をうける弾性体中の円筒の解せばは、上で求めた、円孔を有する無限弾性体と、円筒の解を境界の条件を満足するように組合せて行はう。式 (4) ~ (6)

中の係数をうら、 A_{mk}, B_{mk} はまず次の適合条件を満足しなければならぬ。

$$a_k A_{mk} = \tilde{A}_{mk} \Big|_{r=a_k} \quad (11), \quad a_k B_{mk} = \tilde{B}_{mk} \Big|_{r=a_k} \quad (12)$$

ここで、円孔を有する無限体を表わす全くもう一つを上添字で、円筒の全くもう一つを上添字で区別するものとし、弾性体と円筒の境界では変位および応力が連続であるものとする。

$$i) \quad r = a_1 \text{ における } \quad$$

$$(U^0 + U^1)_{r=a_1} = U^2 \Big|_{r=a_1}, \quad (13)$$

$$(V^0 + V^1)_{r=a_1} = V^2 \Big|_{r=a_1}, \quad (14)$$

$$(W^0 + W^1)_{r=a_1} = W^2 \Big|_{r=a_1}, \quad (15)$$

$$(T_{00}^0 + T_{00}^1)_{r=a_1} = T_{00}^2 \Big|_{r=a_1}, \quad (16)$$

$$(T_{rr}^0 + T_{rr}^1)_{r=a_1} = T_{rr}^2 \Big|_{r=a_1}, \quad (17)$$

$$(T_{\theta\theta}^0 + T_{\theta\theta}^1)_{r=a_1} = T_{\theta\theta}^2 \Big|_{r=a_1}, \quad (18)$$

を満足しなければならない。ここで、Bessel 関数 J_m (m が 1 種の Bessel 関数) は、積分表示で

$$J_m(x) = \frac{1}{\pi} \int_0^{\pi} e^{ix \cos \theta} \cos m\theta d\theta \quad (19)$$

と表わされる。

$$e^{ix \cos \theta} = 2 \sum_m C_m i^m J_m(x) \cos m\theta \quad (20)$$

従って

$$\exp [i\omega \{t - (z \cos \varphi - r \sin \varphi \cos \theta)/v_s\}]$$

$$= \exp \{i\omega \{t - z \cos \varphi / v_s\}\}$$

$$\times 2 \sum_m C_m i^m J_m(wa_1 \sin \varphi / v_s) \cos m\theta \quad (21)$$

となる。この関係を式 (8) ~ (10) に用ひれば、境界条件式 (13) ~ (16), (18) は、

$$A_{m1}^{(2)} + B_{m1}^{(2)} = A_{m2}^{(1)} + B_{m2}^{(1)} + U_0 \pi \cos \varphi i^{m-1} \times \{J_{m-1}(wa_1 \sin \varphi / v_s) - J_{m+1}(wa_1 \sin \varphi / v_s)\} \quad (22)$$

$$A_{m1}^{(2)} - B_{m1}^{(2)} = A_{m2}^{(1)} - B_{m2}^{(1)} - U_0 \pi \cos \varphi i^{m-1} \times \{J_{m-1}(wa_1 \sin \varphi / v_s) + J_{m+1}(wa_1 \sin \varphi / v_s)\} \quad (23)$$

$$E_{m1}^{(2)} = E_{m2}^{(1)} + U_0 \pi \sin \varphi i^m J_m(wa_1 \sin \varphi / v_s) \quad (24)$$

$$\alpha_{m1}^{(2)} = \alpha_{m2}^{(1)} + \frac{\mu_1}{2v_s} U_0 \pi \sin \varphi \cdot i^m w \times \{J_{m+2}(wa_1 \sin \varphi / v_s) - J_{m-2}(wa_1 \sin \varphi / v_s)\} \quad (25)$$

$$\beta_{m1}^{(2)} = \beta_{m2}^{(1)} + \frac{\mu_1}{2v_s} U_0 \pi \cos \varphi i^m \{-J_{m+2}(wa_1 \sin \varphi / v_s) + 2J_m(wa_1 \sin \varphi / v_s) - J_{m-2}(wa_1 \sin \varphi / v_s)\} \quad (26)$$

となる。まことに

$$T_{rz} \Big|_{r=a_2} = \frac{1}{\pi} \sum_m T_{mr} \quad \text{for } \mu=0$$

$$T_{mr} = \sum_{k=1}^{\infty} \left[c \frac{mN}{N_k a_k} G_m^{(k)}(N_k a_k) d_{mk} - \frac{mN^2}{\rho \omega^2} \left\{ \frac{2N}{N_k} \right. \right.$$

$$\times \left(X_{mp}^{(k)}(N_k a_k) + \frac{m}{N_k a_k} G_m^{(k)}(N_k a_k) \right) - \left(\frac{N}{N_k} + \frac{N_m}{N} \right)$$

$$\times \left(X_{mp}^{(k)}(N_k a_k) + \frac{m}{N_k a_k} G_m^{(k)}(N_k a_k) \right) \left(\beta_{mk} + 2\mu E_{mk} \right) + \left. \left. \frac{2\mu N}{N_k a_k} \right\} A_{mk} - 2\mu (m+1) B_{mk} + 2\mu' \mu N E_{mk} \right] + \mu \left(\frac{N^2}{N_k} \right. \right.$$

$$\times G_m^{(k)}(N_k a_k) \left\{ (m+1) A_{mk} + (k-1) B_{mk} \right\} + \mu \left(\frac{N^2}{N_k} \right. \right.$$

$$\left. \left. + N_m \right) \left(X_{mp}^{(k)}(N_k a_k) + \frac{m}{N_k a_k} G_m^{(k)}(N_k a_k) \right) E_{mk} \right] \quad (27)$$

とすれば、式(17)は

$$T_m^{\omega} = T_m^0 + \frac{\mu_1}{2\sqrt{s}} \pi \mu_0 \omega a_2 \omega^2 \varphi e^{im\theta}$$

$$\times \{ J_{m+1}(wa_2 \sin \theta / \nu_s) - J_{m-1}(wa_2 \sin \theta / \nu_s) \} \quad (28)$$

ii), $r=a_2$ において

円筒の内面は中空であるとすれば。

$$T_{r0}^{(\omega)} \Big|_{r=a_2} = 0 \quad \therefore \alpha_{m2}^{(\omega)} = 0 \quad (29)$$

$$\sigma_r^{(\omega)} \Big|_{r=a_2} = 0 \quad \therefore \beta_{m2}^{(\omega)} = 0 \quad (30)$$

$$T_{rz}^{(\omega)} \Big|_{r=a_2} = 0 \quad \therefore T_{m2}^{(\omega)} = 0 \quad (31)$$

を満足しなければならない。

以上の条件を満足するように、各係数を求めることににより、各変位応力成分を求めることができる。

4. 数値計算例

斜として、ボアソン比 $\nu=0.25$, 弹性係数比 $E_2/E_1=10, 100$, 内外径比 $a_1/a_2=1.1, 1.2$ の $\varphi=0$

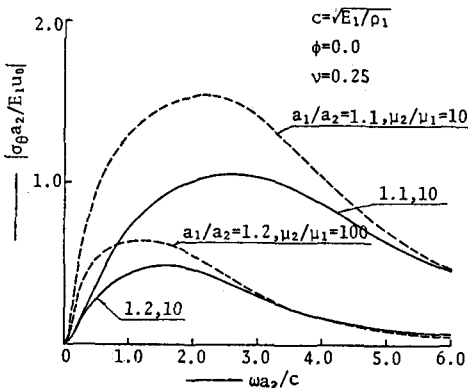


図-2 角速度 ω と応力 σ_θ の関係 ($\varphi=0$)

の場合と $\varphi=\pi/4$ の場合の結果を示す。

図-2 は、 $\varphi=0$ の場合の結果で、 $r=a_2$, $\theta=\pi/2$ における σ_θ の値である。この計算例の範囲では、 ω

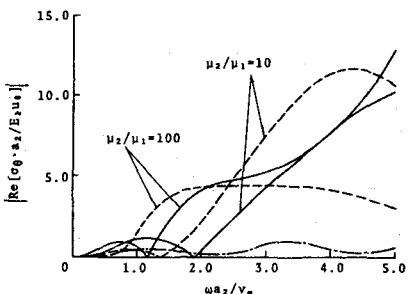
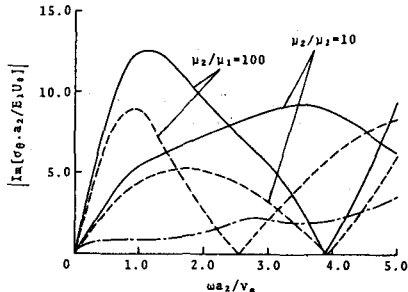


図-3 ω と σ_θ ($r=a_2$) の関係 ($\varphi=\pi/4$)

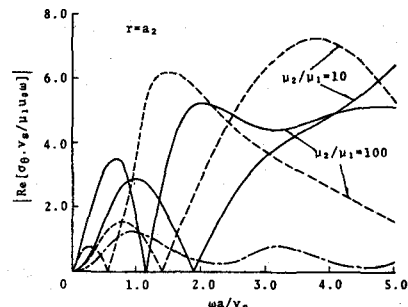
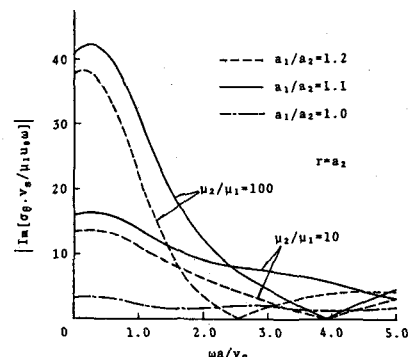


図-4 ω と動的応力集中係数の関係 ($\varphi=\pi/4$)

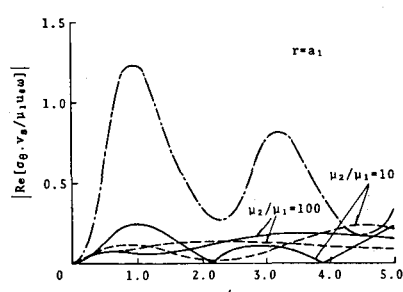
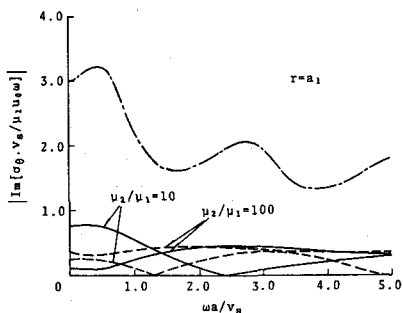


図-5 ω と動的応力集中係数の関係 ($\varphi = \pi/4$)

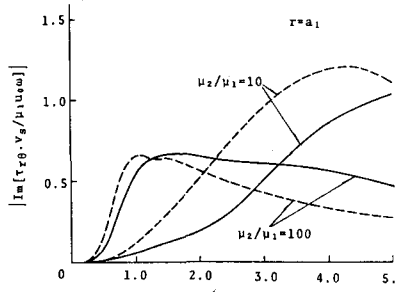
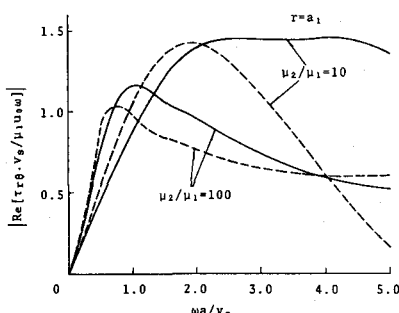


図-6 ω と $\tau\theta$ の関係 ($\varphi = \pi/4$)

が大きくなるに従って、極値を示した後ゆるやかに減少していく。また同一内外径比では、弹性係数比の大きなもの、すなわち円筒の弹性係数の大きいもの、複応力も大きくなるており、同一弹性係数では、内外径比の大きなもの、すなわち円筒の肉厚の大きなもの複応力は小さくなっている。

図-3～6は、同一条件、 $\varphi = \pi/4$ の場合の結果である。

図-3は、図-2と同様 $r = a_2$, $\theta = \pi/2$ における結果を示したものであるが、円孔を有する無限体の場合の値を図中に一点線で示している(図-4～6も同様)。いずれの場合も ω の変化について、かなり複雑に変化しており、一定の特徴を述べるには問題もあるが、図-6のは、ほぼ $\varphi = 0$ と同様に、同一弹性係数比では円筒の肉厚の厚いもの、複応力は小さい。

(しかし、 $Re[\tau\theta]$ は必ず逆に)さて、これらの大半の結果は異なる。また、円筒、存在しない円孔を有する無限体の場合と比較すると、「ずつも、多くの部分で、円筒がある」とき、円筒部の応力は、当然のことながら円筒がないときの円孔部の応力よりも大きいが、弹性係数比程大きいとはいい。すなわち、

複応力は小さくは
かからずを示
している。

図-4, 5は、こ
の場合の動的応力
集中係数を示す
ものである。

図-4は $r = a_2$
 $\theta = \pi/2$ の場合、
そのひらみが、
 $Im[\tau\theta]$ はむづか
まり大きくなり範
囲では、それが
の場合の関係が、
明らかであるが、
むづかしい範囲で、
すなわち $Re[\tau\theta]$ は
やはりかなり複雑
に変化してい。

図-5は $r = a_1$, $\theta = \pi/2$ の無限弹性体の $\tau\theta$ の動的応力集中係数を示したものであるが、図から明らかなように、 ω のほとんどの部分で、円孔を有する無限体と比較して、小さな値を示している。しかし、肉厚比や弹性係数比に対することは、あまり一定の傾向はないようである。

図-6は、 $r = a_1$, $\theta = \pi/2$ における $\tau\theta$ の動的応力集中係数を示したものである。この場合も ω に対して一定の傾向はない。

5.まとめ

以上の若干の結果から、無限弹性体中の円筒の存在により、複応力はかなり減少するが円筒部の厚さ、弹性係数の違いによる影響は、せん断波の伝播速度によりかなり異なることがわかる。に。

参考文献

- 1) Pao, Y. H.; J. Appl. Mech. 29, 299, 1962
- 2) Mow, C.C. and Meente, L.J.; J. Appl. Mech. 30, 599, 1963
- 3) 平井・佐武; 土木学会第34回年次学術講演会講演概要集 第1部, 493, 1979, 4) 鶴飼・山口; 土木工学論文叢書 Vol. 19, No. 4, 93, 1979, 5) 能町・松岡・坂下; 土木学会論文叢書第243号, 1, 1980,